13 集団の PGx 関連遺伝子バリアントの 大規模アノテーションデータベースの構築

福永 航也 莚田 泰誠

臨床薬理の進歩 2025 別刷 公益財団法人臨床薬理研究振興財団

13 集団の PGx 関連遺伝子バリアントの 大規模アノテーションデータベースの構築

The establishment of large-scale database for the biomarkers of PGx-related genes in 13 populations

福永 航也*1 莚田 泰誠*2

Key words: 遺伝的多様性、次世代シークエンサー、ファーマコゲノミクス、CPIC ガイドライン、PGx 関連遺伝子

要 旨

目的 アジアを中心とした 13 集団における、薬剤の効果や有害事象の発現リスクに関係するファーマコゲノ ミクス (PGx) 関連遺伝子バリアントの大規模データベースを構築する。

方法 13 カ国から収集された 2,998 人のゲノムを対象に、PGx 関連 13 遺伝子のアリル決定およびフェノタイプ 推定を行い、標準的な薬物治療(20 種類)と異なる用法・用量が推奨される患者の頻度を各集団間で比較した。

結果 PGx 関連遺伝子のアリルおよびフェノタイプ頻度を比較したところ、最大の頻度差は VKORC1 のワルファリン感受性型で見られた(ナイジェリア 94.2%、中国および日本 0.0%)。また、標準治療とは異なる用法・用量が 1 種類以上の薬剤で推奨される患者は全体の 97.2%にのぼった。

結論 13 集団における PGx バイオマーカーの機能的なアノテーションが付随したデータベースが構築され、 世界的な精密医療の普及に貢献することが期待される。

はじめに

ゲノム解析技術やそれを活用した研究開発の急速な進展により、遺伝要因による個人ごとの違いを考慮した精密医療の実現への期待が高まっている。特に、ファーマコゲノミクス (PGx) バイオマーカーには薬剤の効果や有害事象リスクを投薬前に予測することができる有用なマーカーが多く、そのほとんどが薬物動態関連遺伝子とヒト白血球抗原(HLA) 遺伝子である¹゚。しかし、これらの遺伝子はジェノタイピングすることが困難な遺伝子領域に存在するため、ゴールドスタンダードとなり得る網羅的なジェノタイピング方法は存在しないことが問題になっている。我々は以前に網羅的かつ正確にPGx 関連遺伝子のゲノムデータを取得可能な、

次世代シークエンサー(NGS)を用いた手法である PKseq パネルと corePGseq パネルを開発した 2)。 PKseq パネルを用い、990 人の日本人由来ゲノムをシークエンシングしたところ、19 遺伝子中に アミノ酸置換を伴う新規バリアントが 142 個も同定されている 2)。このように全ゲノムシークエンシングやロングリードシークエンシング技術が進歩した現代においても PGx 関連遺伝子の新規バリアントは今なお同定され続けている。また、PGx 関連遺伝子のバリエーション頻度は集団間によって大きく異なっている 3)。そのため PGx 関連遺伝子のバリエーション情報に関する研究の多くは、単一の集団での報告にとどまっており、様々な集団を統一されたプラットフォームで PGx 関連遺伝子をシークエンシングした事例は皆無である。このため

報告によってバリエーション頻度が大きく異なり、 集団間の差異であるのか、プラットフォームの精度 の問題であるのか判断することができないことも 問題である。

PGxバイオマーカーは臨床現場でも有用である ため、NUDT15と難治性炎症性腸疾患および急性 リンパ性白血病治療薬チオプリン製剤、UGT1A1 と抗がん剤イリノテカン、CYP2C9 と多発性硬化症 治療薬シポニモドが本邦でも保険収載されている。 遺伝子検査によって NUDT15 が Cvs/Cvs 型と決定 された患者はチオプリン製剤の減量または代替薬 の使用が行われている。また世界的な PGx バイオ マーカーのガイドラインとしては CPIC (Clinical Pharmacogenetic Implementation Consortium; https://cpicpgx.org/ (accessed 2024-10-28)) ガイド ラインが策定されている¹⁾。このガイドラインでも PGx 検査の結果に基づいて、有害事象の発現が 高リスクの患者もしくは薬剤の反応性が低いと予想 される患者には標準的な薬物治療とは異なる用法・ 用量が推奨されている。しかし、これらのガイド ラインが様々な集団に適用することの是非は報告 されていない。

本研究では、多様な集団のPGx 関連遺伝子のバリアントのデータベースを構築するために、ギリシャ、ヨーロッパ、アラブ首長国連邦、ナイジェリア、中国、日本、インドネシア、ラオス、ミャンマー、マレーシア、フィリピン、タイ、ベトナムから収集された 2,998 人のゲノムを用いてPGx 関連遺伝子のアリルとフェノタイプを推定した。また薬剤の体内曝露量に関係する 13 遺伝子および20 種類の薬剤を対象とした CPIC ガイドラインにおいて、異なる治療介入方法の対象となる患者の頻度の違いを各集団間で比較することによってPGx バイオマーカーのバリアントの機能的なアノテーションを付随したデータベースを構築した。

方 法

対象患者

ゲノム DNA はギリシャ (n=304)、ヨーロッパ (n=100)、アラブ首長国連邦 (n=100)、ナイジェリア (n=120)、中国 (n=120)、日本 (n=1,087)、インドネシア (n=562)、ラオス (n=100)、ミャンマー (n=100)、マレーシア (n=105)、フィリピン (n=100)、タイ (n=100)、ベトナム (n=100) から収集された計 2,998 人を用いた。ヨーロッパ、ナイジェリア、中国、日本のゲノムはコリエル医学研究所から購入し、上記以外の集団はSEAPharm (Southeast Asian Pharmacogenomics Research Network) 4) プロジェクトから提供された。本研究は国立研究開発法人理化学研究所の人を対象とする研究に関する倫理審査委員会の承認を得て行われた。

ターゲットシークエンシング

PKseqパネルはPK関連100遺伝子の重要なプロモーターとスプライシングサイトを含む全エクソンのゲノム領域を増幅するプライマーセットである。これらのプライマーセットを用いて1st PCRを行った。1st PCR産物の個体識別のためにバーコードとミックスし2nd PCRを行った。2nd PCR産物をAMPure XP(サーモフィッシャーサイエンティフィック)を用いて精製した。精製産物の断片長を確認するために2100バイオアナライザ(アジレントテクノロジー)で電気泳動を行った。精製産物のReal Time PCRを行い、ライブラリー濃度を測定した。精製産物を10pMに段階希釈後、MiSeqシステム(イルミナ)とMiSeq Reagent Nano Kit v2(500サイクル、イルミナ)を用いてシークエンシングを行った。

fastq ファイル取得後、Trimmomatic ⁵⁾ によって アダプターをトリミングし、クオリティの低い 塩基を除去した。Burrows-Wheeler Aligner (0.7.17)⁶⁾ を用いてリードをヒト参照ゲノム(GRCh37/hg19)に マッピング した。Genome Analysis Toolkit (GATK version 3.5) ⁷⁾ を用いて single nucleotide variants (SNVs) や short insertions and deletions (indels) をコールした。擬陽性のバリアントを除く

ために Variant quality score recalibration (VQSR) を行った。

本研究では CPIC ガイドラインでアリル情報が 定義されている ABCG2、CYP2B6、CYP2D6、 CYP2C9、CYP2C19、CYP3A5、DPYD、NAT2、 NUDT15、SLCO1B1、TPMT、UGT1A1、 VKORC1 からのバリアント情報を使用した。

CYP2D6 のコピー数測定

CYP2D6の欠失や複製を含むコピー数変異 (CNV) は TaqMan Copy Number Assay プローブ (サーモフィッシャーサイエンティフィック、Hs00010001_cn (exon 9) および Hs0483572_cn (intron 2)) を用いて行われた。コントロールには RNase Pを用いた。7900HT Fast Real-Time PCR System (サーモフィッシャーサイエンティフィック) を用いてリアルタイム PCR を行った。 得られたデータと Copy Caller software (サーモフィッシャーサイエンティフィック) を用いてコピー数を算出した。

PGx 関連遺伝子のアリル、ディプロタイプ決定 およびフェノタイプ推定

CPIC ガイドライン の中で定義されているアリル、 ディプロタイプ決定およびフェノタイプ推定の table を用いて PGx 関連13遺伝子 (ABCG2、 CYP2B6, CYP2D6, CYP2C9, CYP2C19, CYP3A5, DPYD, NAT2, NUDT15, SLCO1B1, TPMT、UGT1A1、VKORC1) のアリル、ディプロ タイプ決定およびフェノタイプ推定を行った。まず、 ターゲットシークエンシングで得られたバリアント およびコピー数アッセイで得られた CNV 情報を allele definition table と照らし合わせアリルを決定 した。Allele functionality table において、Normal function/Unknown/Indeterminate に該当するアリル はすべて*1アリルとした。また、ディプロタイプ 決定時にハプロタイプ情報が矛盾したアリルは Unknown とした。Diplotype-phenotype table を用いて ディプロタイプ情報から薬物代謝酵素の活性を

推定した。各アリルには CPIC ガイドラインに所属 している PGx 研究の有識者が定義した予測酵素 活性値であるアクティビティスコアが定義されて いるため、この値を基に各ディプロタイプのアク ティビティスコアを算出した。CYP2B6、CYP2D6、 CYP2C9, CYP2C19, CYP3A5, DPYD, NUDT15, TPMT、UGT1A1 はアクティビティスコアを基に Ultrarapid metabolizer (UM), Rapid metabolizer (RM), Normal metabolizer (NM), Intermediate metabolizer (IM)、Poor metabolizer (PM) に分類 した。ABCG2 および SLCO1B1 は Increased function (Increased), Normal function (Normal), Decreased function (Decreased)、Poor function (Poor) に分類 した。VKORC1 の各ディプロタイプはワルファリン 感受性型(Sensitive)、中間型(Intermediate)、 抵抗性型 (Resistant) と分類した。NAT2 遺伝子の アリルは CPIC ガイドラインで定義されていない ため NAT2 命名サイト(https://nat.mbg.duth.gr/ Human NAT2 alleles.htm (accessed 2024-10-28)) を使用した。NAT2の標準アリルは*4であるため Normal function/Unknown/Indeterminate に該当する アリルはすべて*4アリルとした。過去の報告8)を 基に NAT2 ディプロタイプ情報から薬物代謝酵素 の酵素活性(Rapid acetylator:RA、Intermediate acetylator: IA、Slow acetylator: SA) を推定した。 2024 年 10 月現在 CPIC には 27 種類のガイド ラインが策定されている。これらの中から、薬剤の 曝露量に関係する遺伝子を対象とし、フェノタイプ ごとに推奨されている介入方法が明記されている 20種類の薬剤 (アタザナビル、β遮断薬、シタロ プラム/エスシタロプラム、クロピドグレル、 エファビレンツ、フルオロピリミジン、フルボキ サミン、NSAIDs、オンダンセトロン / トロピセト ロン、オピオイド、パロキセチン、プロトンポンプ 阻害薬、セルトラリン、タクロリムス、タモキシ フェン、チオプリン製剤、三環系抗うつ薬、ベン ラファキシン、ボリコナゾール、ボルチオキセチン)

を対象とした。推奨されている介入方法は標準治療

(Normal dose)、投与量を増加する (Increased

dose)、投与量を減少する(Decreased dose)、代替薬を提示する(Alternate drug)に分類した。ディプロタイプ、フェノタイプおよび上述の介入方法の対象となる患者の頻度を算出し、棒グラフおよびヒートマップはRソフトウェア(version 4.3.0)を用いて描画した。

結 果

ジェノタイピング結果

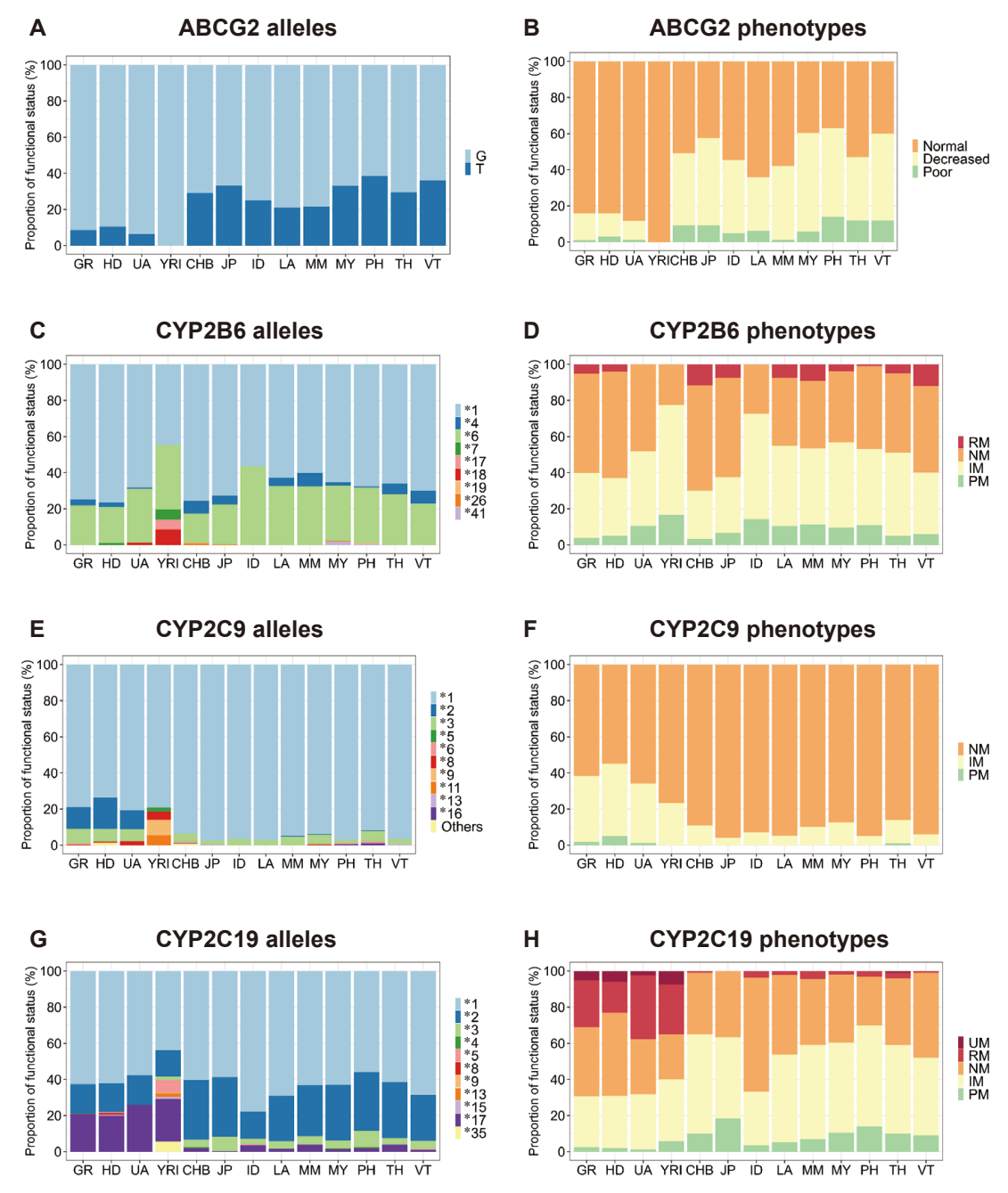
PKseq 解析によって 2.998 人のうち 2.878 人が カバー率95%以上であったため以後これらのサン プルを解析に用いた。CYP2D6のコピー数解析に おいて、2.998 人のうちギリシャからの304 人および インドネシアからの 562 人の CYP2D6 コピー数は ソフトウェアが必要とするクオリティをクリアする ことができなかったため 2,132 人のコピー数を決定 した。バリアントおよびコピー数の解析を統合後 13 集団からの 2,998 人のうち計 2,458 人の 12 遺伝子 (ABCG2, CYP2B6, CYP2C9, CYP2C19, CYP3A5, DPYD, NAT2, NUDT15, SLCO1B1, TPMT、UGT1A1、VKORC1) のディプロタイプ を決定した(図1)。また CYP2D6 のディプロ タイプ情報が矛盾したサンプルを除き計2.099人 の CYP2D6 ディプロタイプを決定しアクティビティ スコアを算出した (図2)。

13 集団中のディプロタイプおよびフェノタイプ 頻度の比較

CPIC ガイドラインのアリル定義に従いバリアントおよびコピー数のデータを用い ABCG2 (2種類)、CYP2B6 (9種類)、CYP2C9 (13種類)、CYP2C19 (11種類)、CYP2D6 (45種類)、CYP3A5 (4種類)、DPYD (5種類)、NAT2 (5種類)、NUDT15 (4種類)、SLCO1B1 (10種類)、TPMT (3種類)、UGT1A1 (6種類)、VKORC1 (2種類)の計119アリルを決定した。CYP2D6 については、CPIC ガイドラインに従い各ディプロ

タイプのアクティビティスコアを算出しフェノ タイプに変換した。決定したアリル頻度および フェノタイプ頻度を集団ごとに比較した(図1)。 集団間で頻度差が大きかったアリルは CYP3A5*3 (80.3%、ヨーロッパ96.5%、ナイジェリア 16.3%)、NAT2*5 (46.3%、アラブ首長国連邦 48.8%、日本 2.5%)、ABCG2 の T アリル (38.5%、 フィリピン38.5%、ナイジェリア0.0%)、 CYP2B6*6 (27.3%、インドネシア:43.4%、中国: 16.1%)、CYP2C19*17(25.5%、アラブ首長国連邦 25.9%、日本: 0.4%) であった。集団間で頻度差 が大きかったフェノタイプは VKORC1 のワルファ リン感受性型 (94.2%、ナイジェリア 94.2%、中国 および日本 0.0%)、CYP3A5 の PM (73.0%、 ヨーロッパ93.0%、ナイジェリア20.0%)、 ABCG2 の Normal function (63.0%、ナイジェリア 100.0%、フィリピン37.0%)、UGT1A1のNM (53.3%、中国78.3%、ナイジェリア25.0%)、 NAT2のSA (51.6%、アラブ首長国連邦 68.2%、 中国 16.7%) であった。

CYP2D6 においてはアリル、アクティビティス コア、フェノタイプ頻度を集団ごとに比較した (**図 2**)。CYP2D6 のアリルのうち集団間で最も 頻度差が大きかったアリルは*10であった (36.9%、中国 37.7%、ヨーロッパ 0.8%)。また 頻度差が10%以上あったアリルは*17(18.0%、 ナイジェリア 18.0%、中国、ヨーロッパ、日本、 ラオス、ミャンマー、マレーシア、フィリピン、 タイ、ベトナム 0.0%)、*36+*10 (14.7%、中国 14.7%、ヨーロッパ 0.0%)、*4 (13.8%、ヨーロッパ 14.1%、日本 0.3%)、*2 (12.5%、ラオス 21.5%、 日本 9.0 %)、*10x2 (11.3 %、ベトナム 11.6 %、 中国 0.3%) の 5 種類であった。集団間で最も頻 度差が大きかったアクティビティスコアは 0.5 で あった(45.5%、ベトナム48.2%、ヨーロッパ 2.7%)。フェノタイプのうち集団間で最も頻度差 が大きかったフェノタイプはIMであった(39.6%、 ベトナム 69.0%、アラブ首長国連邦 29.4%)。



GR: キリシャ (n=274)、HD: ヨーロッパ (n=100)、UA: アラブ百長国連邦 (n=85)、YRI: ナイジェリア (n=120)、CHB: 中国 (n=120)、JP: 日本 (n=1,087)、ID: インドネシア (n=84)、LA: ラオス (n=95)、MM: ミャンマー (n=88)、MY: マレーシア (n=104)、PH: フィリピン (n=100)、TH: タイ (n=100)、VT: ベトナム (n=100)

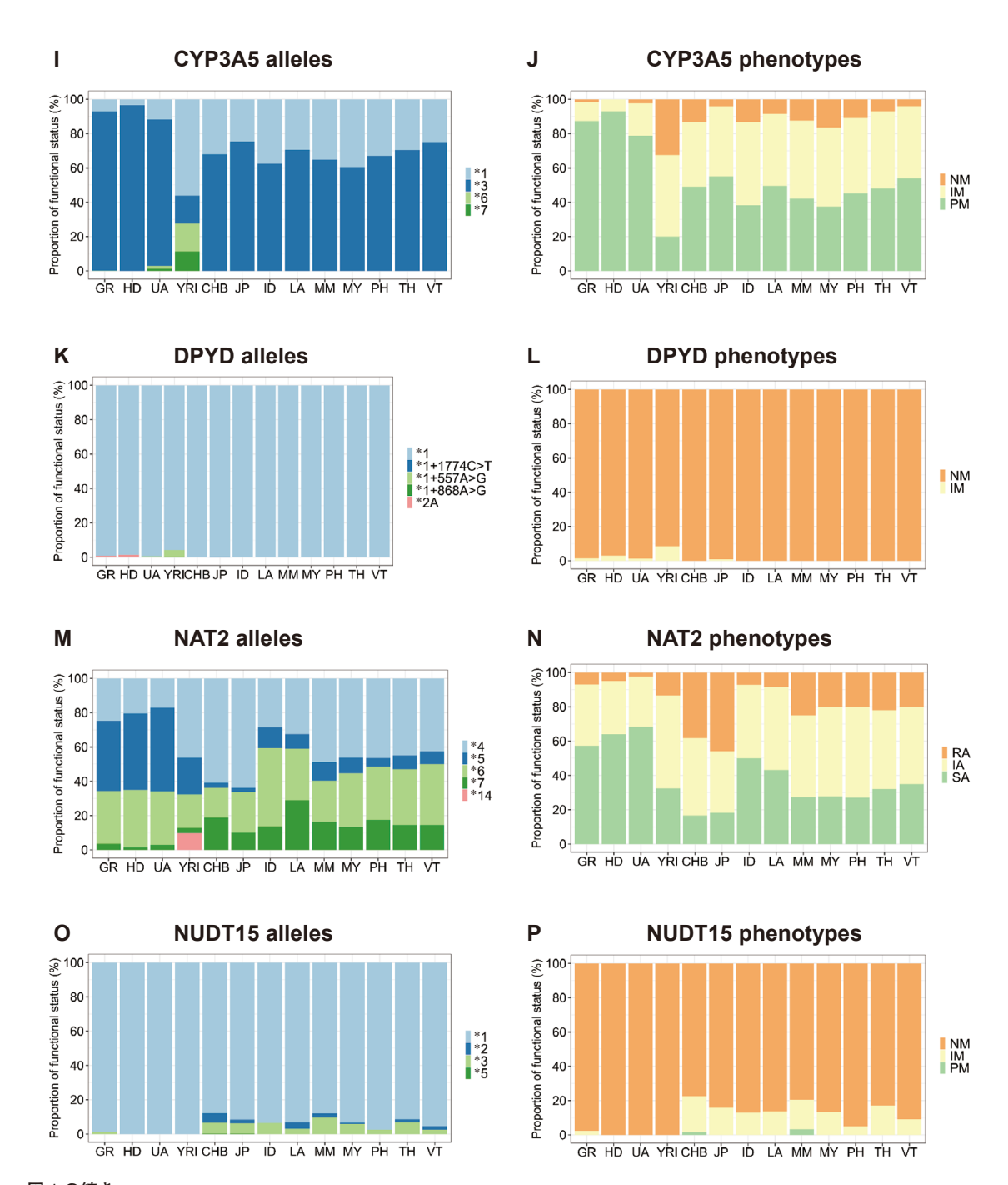


図1の続き

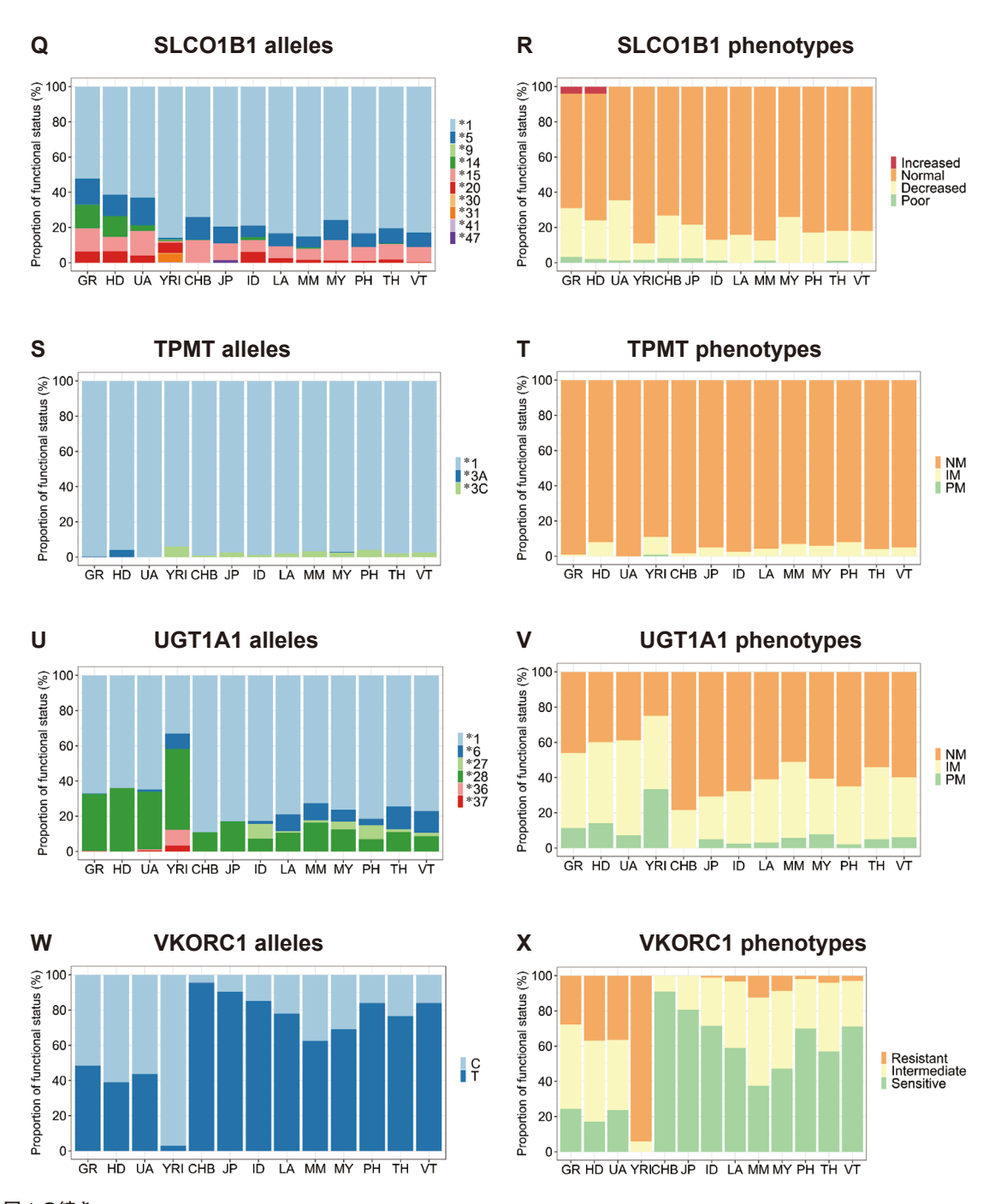


図1の続き

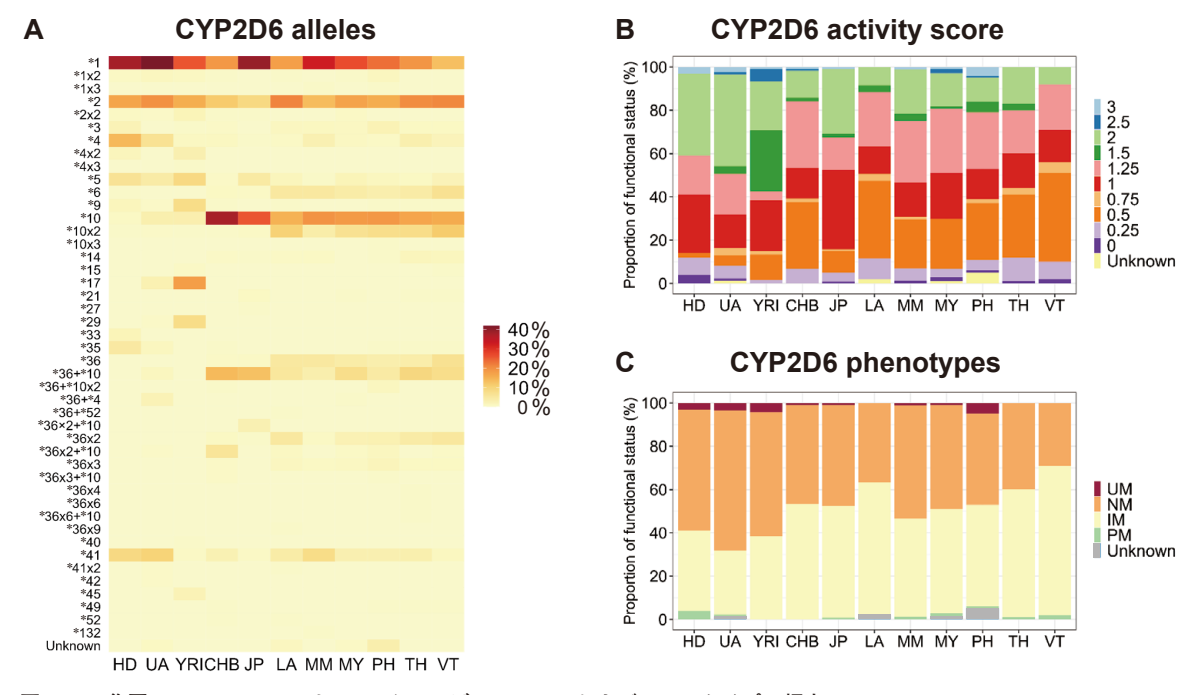


図 2 13 集団の CYP2D6 のアリル、アクティビティスコアおよびフェノタイプの頻度

PKseq パネルによってジェノタイピングされたバリアント情報を Pharm Var データベースのアリル情報を用いてアリルに変換し、各集団のアリル頻度を算出した (A)。これらのアリルを CPIC ガイドラインの diplotype-phenotype table を用いて酵素活性の推定値であるアクティビティスコアを算出し (B)、各集団のフェノタイプ頻度を算出した (C)。 HD:ヨーロッパ (n=100)、UA:アラブ首長国連邦 (n=85)、YRI:ナイジェリア (n=120)、CHB:中国 (n=120)、JP:

HD: $\exists - \Box$ ッパ (n = 100)、UA: アラブ首長国連邦 (n = 85)、YRI: ナイジェリア (n = 120)、CHB: 中国 (n = 120)、JP: 日本 (n = 1,087)、LA: ラオス (n = 95)、MM: ミャンマー (n = 88)、MY: マレーシア (n = 104)、PH: フィリピン (n = 100)、TH: タイ (n = 100)、VT: ベトナム (n = 100)

13 集団中の CPIC ガイドラインが推奨する 薬物治療の比較

CPIC ガイドラインに従い、各フェノタイプの 患者を推奨されている用法・用量ごとに分類した (図3)。標準的な薬物治療とは異なる用法・用量 が1種類以上の薬剤で推奨される患者は全体の 97%であった。また標準治療とは異なる用法・用量 が推奨されている患者の頻度が40%を超える集団 が1つでも示された薬物はシタロプラム/エスシ タロプラム、クロピドグレル、エファビレンツ、 NSAIDs、パロキセチン、プロトンポンプ阻害薬、 セルトラリン、タクロリムス、タモキシフェン、 三環系抗うつ薬、ボリコナゾールであり、全体の 55%を占めた。

考 察

PGx バイオマーカーは薬剤の効果や有害事象の発現リスクを予測することが可能である。しかし、様々な集団間での PGx バイオマーカーのバリアントの頻度を比較した報告は非常に少ない。本研究では我々が以前に開発したターゲットシークエンシングパネルである PKseq を用い、アジアを中心とした 13 集団の PGx 関連遺伝子のバリエーションを明らかにした。

様々なシークエンシング技術が改良されているが PGx 関連遺伝子は CNV や高い相同性配列をもつ 偽遺伝子などによってゲノムの領域のジェノタイ ピングは困難なままである ⁹⁾。遺伝子型の標準 ゲノムを作成する目的で設立された Genetic

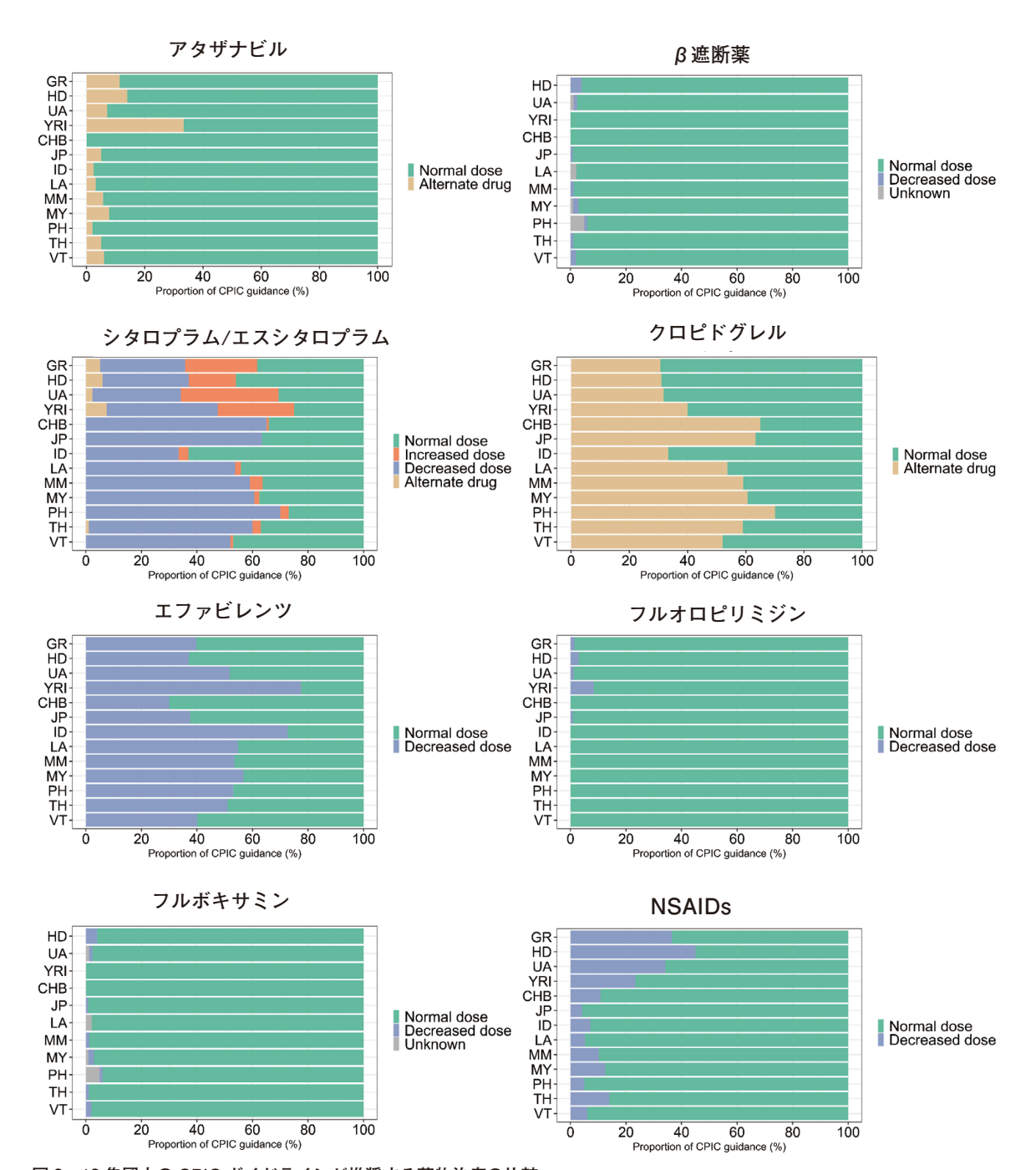


図3 13集団中の CPIC ガイドラインが推奨する薬物治療の比較

PKseq パネルによってジェノタイピングされたバリアント情報を CPIC ガイドラインに従い、各フェノタイプの患者を推奨されている薬物治療ごとに分類し、各集団の頻度を算出した。

GR: ギリシャ (n=274)、HD: ヨーロッパ (n=100)、UA: アラブ首長国連邦 (n=85)、YRI: ナイジェリア (n=120)、CHB: 中国 (n=120)、JP: 日本 (n=1,087)、ID: インドネシア (n=84)、LA: ラオス (n=95)、MM: ミャンマー (n=88)、MY: マレーシア (n=104)、PH: フィリピン (n=100)、TH: タイ (n=100)、VT: ベトナム (n=100)

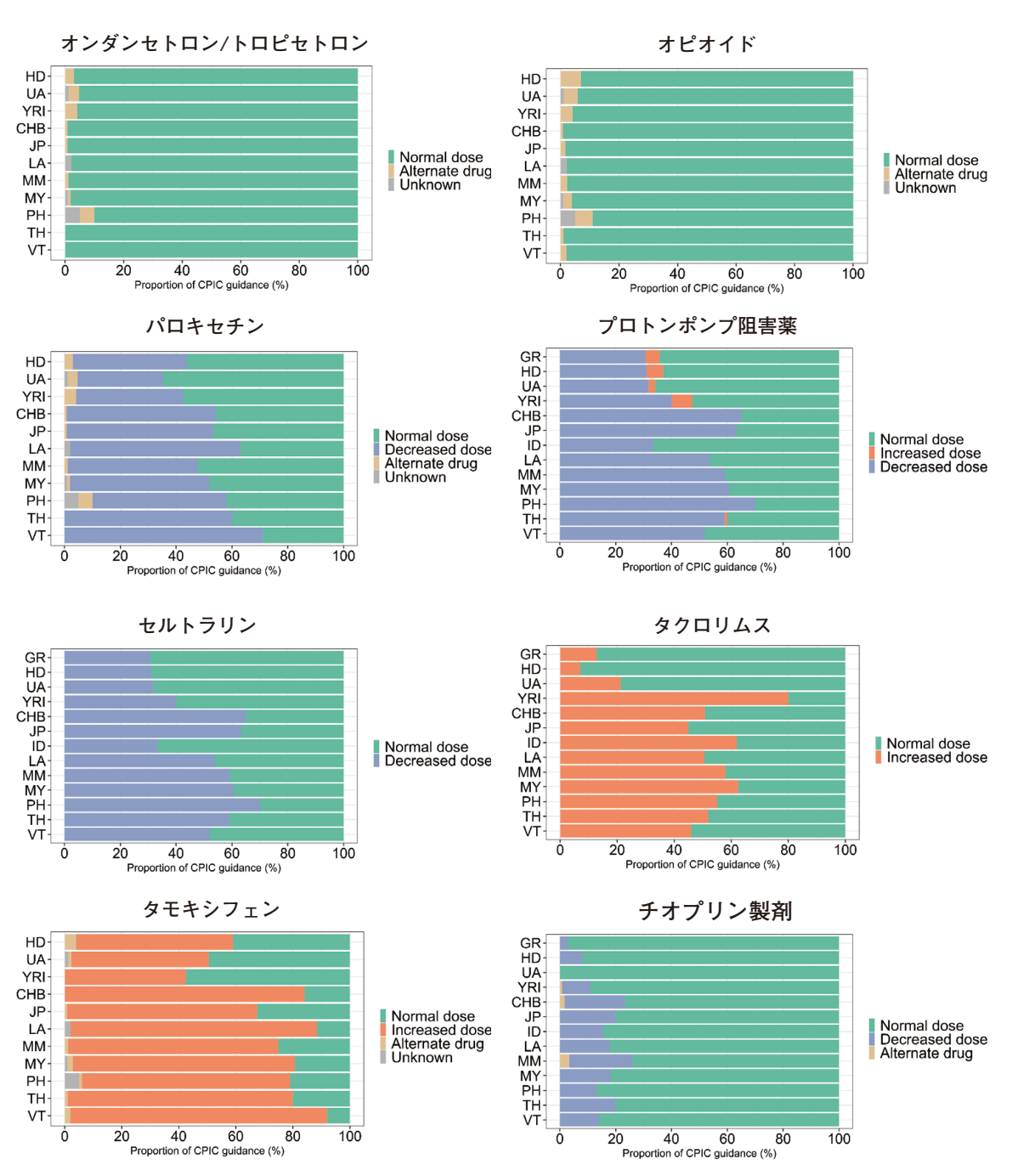


図3の続き

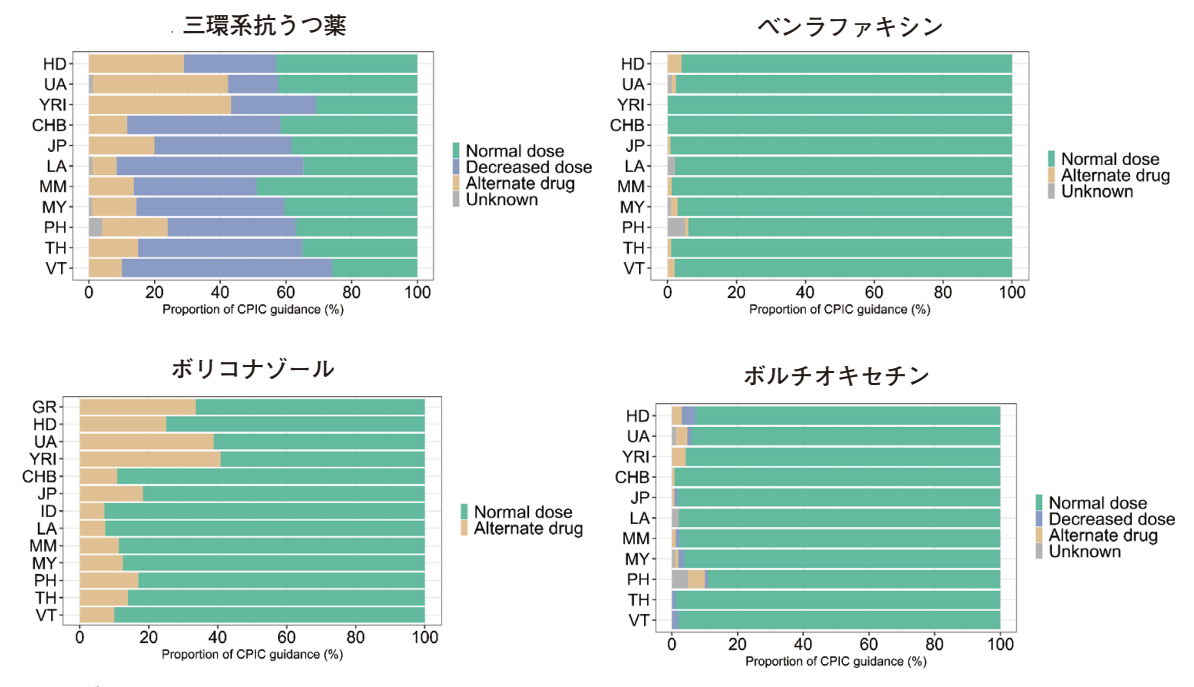


図3の続き

Testing Reference Material Program (GeT-RM) 10 の PGx 部門においても様々なプラットフォームで 同じゲノムがジェノタイピングされた。しかし複数 のプラットフォームで決定される遺伝子型が一致 せず、最終的な正解遺伝子型を決定することができていない 100。本研究においてもディプロタイプ 決定において矛盾が生じたため、Unknown のジェノタイプと判定された患者が見られた。今後ロングリードシークエンサーなどを用いて完全な遺伝子型が決定されている PGx 標準ゲノムを作成し、ゴールドスタンダードとなるジェノタイピング方法を確立する必要がある。

本研究では東南アジアからの9つの集団を対象としている。CYP2B6遺伝子の酵素活性を低下させる最も高頻度なアリルであるCYP2B6*6の頻度がインドネシアにおいて43.4%を示した(図1C)。これは世界で報告されているCYP2B6*6の頻度の中で最も高い数値である。また、ベトナム集団においてCYP2D6のアクティビティスコアが0.5を示すグループの頻度が最も高くなっている(48.2%、

図 2B)。このアクティビティスコア 0.5 のカテゴ リーは IM に分類されているが、IM の中でも酵素 活性が最も低いカテゴリーであり、IMの他のアク ティビティスコアである患者と比較して CYP2D6 の基質薬物の血中濃度が高くなり有害事象が発生 したり、薬物の治療効果が高くなったりすることが 考えられる。世界の様々な集団で PGx 関連遺伝子 のジェノタイピングが行われ ¹¹⁾、1000 ゲノムプロ ジェクトにおいて、東南アジア集団としてベトナム や南中国集団がシークエンシングされている³⁾ にも かかわらず同じ東南アジア集団であるインドネシア の CYP2B6*6 の頻度が極めて高い (43.4%、図 1C) ような知見が同定されている(1000 ゲノムプロ ジェクトのベトナム (KHV) の CYP2B6*6 の頻度 は 21.1%、南中国 (CHS) は 15.6%) ³⁾。 そのため、 今後も PKseg パネルを用いて様々な集団をシーク エンシングすることが必要である。

本研究を通して PGx 検査によって標準とは異なる 薬物治療を必要とする患者の頻度が高い集団が確認 された。特に CYP2C19 は最も多くのフェノタイプ に分けられたため標準治療だけではすべての患者 が有害事象を避けつつ最大限の効果を得ることが 難しいことが考えられる。そのため PGx 検査情報 に基づいた用法・用量の設定が必要である。しかし 本邦では CYP2C19 の PGx 検査は保険収載されて おらず医師や患者が希望しても検査することが できない。そのため CYP2C19 の基質薬物である エスシタロプラム、クロピドグレル、プロトン ポンプ阻害薬においては可及的速やかに CYP2C19 遺伝子検査を保険収載する必要があると考え られる。加えて CYP2B6*6 が高頻度であるインド ネシアではエファビレンツ、アジア集団の中で 唯一 CYP2C9 の PM が 1.0% 認められたタイでは NSAIDs、CYP2D6 活性が低い患者が多いベトナム では向精神薬やタモキシフェンなど CYP2D6 基質 薬物の PGx 検査が必要であり、ひいては各集団に 適切な用法・用量を提案することが必要になる かもしれない。

本研究ではアジアを中心とした13集団の、薬剤の効果や有害事象の発現リスクに関係するPGx関連遺伝子のバリアントの大規模データベースを構築した。PGxバイオマーカーを世界的に普及させるためには今後さらにサンプル数や集団を増やし、データベースの拡充が必要である。

謝 辞

本研究を遂行するにあたり、研究助成を賜りました公益財団法人臨床薬理研究振興財団に深謝申し上げます。また、本研究に検体を提供していただいた患者様に厚く御礼を申し上げます。

利益相反

本研究に関して開示すべき利益相反はありません。

文 献

- Alshabeeb MA, Alyabsi M, Aziz MA, Abohelaika S. Pharmacogenes that demonstrate high association evidence according to CPIC, DPWG, and PharmGKB. Front Med (Lausanne) 2022; 9: 1001876.
- 2) Fukunaga K, Momozawa Y, Mushiroda T. Update on next generation sequencing of pharmacokinetics-related genes: Development of the PKseq panel, a platform for amplicon sequencing of drug-metabolizing enzyme and drug transporter genes. *Drug Metab Pharmacokinet* 2021; 37: 100370.
- Sherman CA, Claw KG, Lee SB. Pharmacogenetic analysis of structural variation in the 1000 genomes project using whole genome sequences. *Sci Rep* 2024; 14: 22774.
- 4) Runcharoen C, Fukunaga K, Sensorn I, Iemwimangsa N, Klumsathian S, Tong H, et al. Prevalence of pharmacogenomic variants in 100 pharmacogenes among Southeast Asian populations under the collaboration of the Southeast Asian Pharmacogenomics Research Network (SEAPharm). Hum Genome Var 2021; 8: 7.
- 5) Bolger AM, Lohse M, Usadel B. Trimmomatic: a flexible trimmer for Illumina sequence data. *Bioinformatics* 2014; **30**: 2114-20.
- Li H, Durbin R. Fast and accurate short read alignment with Burrows-Wheeler transform. *Bioinformatics* 2009; 25: 1754-60.

- McKenna A, Hanna M, Banks E, Sivachenko A, Cibulskis K, Kernytsky A, et al. The Genome Analysis Toolkit: a MapReduce framework for analyzing next-generation DNA sequencing data. *Genome* Res 2010; 20: 1297-303.
- Fukunaga K, Kato K, Okusaka T, Saito T, Ikeda M, Yoshida T, et al. Functional characterization of the effects of N-acetyltransferase 2 alleles on N-acetylation of eight drugs and worldwide distribution of substrate-specific diversity. Front Genet 2021; 12: 652704.
- Chen X, Shen F, Gonzaludo N, Malhotra A, Rogert C, Taft RJ, et al. Cyrius: accurate CYP2D6 genotyping using whole-genome sequencing data. *Pharmacogenomics J* 2021; 21: 251-61.
- 10) Pratt VM, Everts RE, Aggarwal P, Beyer BN, Broeckel U, Epstein-Baak R, et al. Characterization of 137 genomic DNA reference materials for 28 pharmacogenetic genes: A GeT-RM collaborative project. J Mol Diagn 2016; 18: 109-23.
- 11) McInnes G, Lavertu A, Sangkuhl K, Klein TE, Whirl-Carrillo M, Altman RB. Pharmacogenetics at scale: An analysis of the UK Biobank. Clin Pharmacol Ther 2021; 109: 1528-37.